Nur für den Dienstgebrauch К 3 M 2 G 11

3996-30/30/Hal. Deutsche Luftfahrtforschung

Untersuchungen und Mittellungen Nr. 688

Einfluß des Bleigehaltes von Kraftstoffen auf Bauteile von Flugmotoren,

Denkmeier/Kerwien

Verlaßt bei

Deutsche Versuchsanstalt für Luftfahrt E. V. Institut für Triebwerk-Gestaltung, Motoren-Prüffeld Berlin-Adlershof

Zentrale für wissenschaftliches Berichtswesen der Luftfahrtforschung des Generalluftzeugmeisters (ZWB) Berlin-Adlershof

## Zur Beachtung!

Dieser Bericht ist bestimmt für die Arbeiten im Dienstbereich des Empfängers. Der Bericht darf innerhalb dieses Dienstbereichs nur an Persönlichkeiten ausgehändigt werden, die aus dem Inhalt Anregungen für Ihre Arbeiten zu schöpfen vermögen.

Verwendung zu Veröffentlichungen (ganz oder teilweise) sowie Weiterleitung an Persönlichkeiten außerhalb des Dienstbereichs des Empfängers ist ausgeschlossen.

Der Bericht ist unter Stahlblechverschluß
mit Patentschloß zu halten.



# Einfluß des Bleigehaltes von Kraftstoffen auf Bauteile von Flugmotoren.

werden teilweise auf den bei normalem B 4-Kraftstoff hohen Bleizusatz von 0,12% zurückgeführt. Die Untersuchungen zeigten, daß durch eine geringe Herabsetzung des Bleigehaltes auf 0,09% keine Besserung der Haltbarkeit von Auslaßventilen und Holben erreicht wird.

#### Gliederung:

- I. Einleitung
- II. Versuchsaufbau und Motordaten
- III. Versuchsdurchführung
  - a) Vergleichskraftstoff ohne Bleizusatz
  - b) Vergleichskraftstoff mit 0,09% Bleizusatz

IV. Zusammenfassung

Der Bericht umfaßt: 26 Seiten mit 38 Abbildungen

Institut für Triebwerk-Gestaltung der

Deutschen Versuchsanstalt für Luftfahrt, E.V.
Motoren-Prüffeld

Die Bearbeiter:

Ho banksonsies

H. Denkmeier

A Kerwien

ges.:

Berlin-Adlershof, den 1. August 1942 Konto Df 248/1 1. Teilbericht



### I. Einleitung.

Die im Laufe der Zeit an dem Gleichen Motormuster erzielte Leistungssteigerung, durch Erhöhung von Drehzahl und Ladedruck gab zu Störungen Anlaß, die zunächst durch konstruktive Indorungen, durch Verbesserung der Werkstoffe usw. wieder behoben werden konnten. Die auftretenden Brüche und Zerstörungen an Ausla Bventilon und Kolben waren auf die hohe thermische Belastung des Brennraumes zurückzuführen. Um diese höhere thermische Belastung zulassen zu können, mußte die Klopffestigkeit des Kraftstoffes erhöht werden. Diese Erhöhung der Klopffestigkeit wurde durch Heraufsetzung des BTA-Gehaltes im Kraftstoff auf 0,12 gewonnen. Damit konntendic Zerstörungen an Kolben infolge der Klopferscheinungen zwar behoben werden, andererseits traten nun Korrosionsschäden und Brüche vor allem an Auslaß ventilen auf, die durch das Vorhandensein von Bleiniederschlägen an den gefährdeten Stellen auf den erhöhten Bleizusatz zurückgeführt wurden. Dieser Einfluß söllte durch Motorversuche festgestellt werden.

# II. Versuchsaufbau und Motordaten.

Der Versuchslauf wurde an einem Jumo 211 H-Motor von 1200 PS Startleistung durchgeführt. Als Bromsmittel wurde eine VDM-Verstell-Luftschraube verwendet. Der Aufbau des Motors erfolgte auf einem offenen Pendelrahmen-Prüfstand. Die Messung der Motorleistung erfolgte durch Eichung der Verstellschraube. Die Kraftstoffversorgung des Motors wurde derart abgeändert, daß der in Flugrichtung gesehen rechte Hotorblock I mit normalem B 4-Mraftstoff betrieben werden konnte, und der linke Motorblock II mit dem Vergleichskraftstoff. Das Motormuster Jumo 211 H wurde deshalb gewählt, weil sich bei diesem Kraftstoffsystem die Aufteilung an der Pumpe in zwei getrennte Hauptk anäle am einfachsten durchführen ließ. Da der Vergleichskraftstoff denselben Heizwert und annühernd dasselbe spezifische Gewicht hatte, konnte die Einstellung der beiden Einspritzpumpenhälften auf gleiche Födermenge beibehalten werden. Das mit der Einspritzpumpe gekuppelte Verbrauchsmeßgerät diente zur laufenden Überwachung der Einspritzmengen.



## Motordaten:

Jumo 211 H Werl	k Nr. 150	•
Bohrung	<u>.</u>	150 mm
Hub -		165 mm
Verdichtungsver	<b>\( \xi</b> = .6,5	
Anala Promesia	Workstoff El	1441 cohof

Oktanzahl nach Motorverfahren:

	gr.			
	Ladedruck ata	U/Min	Leistung PS	Verbrauch g/PSh
Startleitung	1,35	2400	1200	255
Steig- u. Kampflstg.	1,15	2300	930	250
höchstzul.Dauerlstg.	1,10	2100	790	210
Kraftstoff:			70000	
Hornoler Flugkraf				
Zusammensetzung: Gehalt an BTA :	计二元字 植花 二十二	T Deutsche	e Benzine m	11t 0Z 72 0,123
/ Aromatengehalt un stoffe nach H.PV	,	* 1	enwasser-	<b>15-</b> 20
Spezifisches Gewi	cht bei 2	20 <sup>0</sup> C :	Tage	0,75
Oktanzahl nach Mo	torverfal	ren:		87
and the second of the second o	4	en la compania de la compania del compania del compania de la compania del compani		
Vergleichskraftst	off ohne	Blei-Zusat	<u> Z</u>	
Zusarmensetzung:	75 %	•		ET 100
		rerbleit		VT 702
Gehalt an BTÄ: vo	1. %			0 -
/ Aromatengehalt: u	nd unges	ittigte KW:	Gew.%	5
Spezifisches Gewi	cht bei 2	20°C:	• • • •	0,72



### Vergleichskraftstoff mit 0,09% Bleizusatz

Zusammensetzung: Grundstoff Deutsche Benzinc mit überwiegend VF 702	0Z 72
Cehalt an BTA : vol. %	0,09
Aromatengehalt und ungesättigte KN: Gew.%	15-20
Spezifische Gewicht bei 20°C:	0,73
Oktanzahl nach Hotorverfahren:	87

#### III. Versuchsdurchführung.

Der erste Versuchslauf an dem 211 H-Notor Werk Hr. 150 wurde in Form eines 110 Std.-Dauerlaufes durchgeführt; nach 68 bezw. 88 Standen Betriebszeit mußte der Lauf wegen Störungen am Triebwerk mehrere Tage unterbrochen werden. Das Versuchsprogramm wurde den Bedingungen eines Vorlaufes angepaßt. Folgende Belastungen wurden jeweils gefahren:

Dauerleistung n = 2100 U/min	p <sub>T</sub> = 1,10 ata 42 min
Steig.u.Kampf-	
leistung $n = 2300 \text{ U/min}$	$p_T = 1,15 \text{ ata}$ 12 min
Dauerleistung n = 2100 U/min	$p_T = 1,10$ ata 3 min
Start-und Notleistung n = 2400 U/min	
Dauerleistung	42 ain
Steig.u.Kampf-	
Leistung	12 m <b>in</b>
usw.	

# Die 110 Stunden setzen sich wie folgt zusammen:

Daucrleistung	81	Stunden
Steig- Kampf-		
Leistung	20	Stunden -
Startleistg.	6	Stunden
Warmfahren	` 3	Stunden

# a) Vergleichskraftstoff ohne Zusatz von Bleitetraäthyl.

Die Versuche erstreckten sich über die Monate lebruar und März 1942, wobei Außenlufttemperaturen bis - 15°C gemessen wurden. Da der Motor nur tagsüber gefahren werden konnte, wurde



er verhältnismäßig oft abgestellt, so daß die Feuchtigkeit in Verbindung mit dem Sauerstoff der Luft zur stärkeren Korrosion beitragen konnte. Der rechte Zylinderblock I wurde mit normalem B 4-, der linke Block II mit Vergleichskraftstoff ohne Bleizusatz betrieben. Während des Versuchslaufes fielen nach 45 und 60 Stunden beim Zylinderblock I mehrere Zündkerzen durch starke Bleiablagerugen an der MitteleMitrode aus.

Nach insgesamt 110 Betriebsstunden, die mit Ausnahme der bereits erwähnten Unterbrechungen ohne weitere Störungen verliefen, wurde der Motor teilüberholt.

Die Befundaufnahme von Kolben, Zylinderköpfen, Ventilen und Zündkerzen zeigte eindeutig den Einfluß des Bleizusatzes auf diese Bauteile.

BeiAbb. 1 - 4 sind Kolben und Zylinderköpfe von Block I und II einander gegenübergestellt. Wenn auch aus den Aufnahmen kein klarer Unterschied ersichtlich ist, so waren doch die Ablagerungen und Rückstände an Kolben und am Verbrennungsraum bei Zylinderblock I bedeutend stärker. Besonders deutlich zeigte sich der Bleieinfluß an den Auslaßventilen Abb. 5. Während die Auslaßventil-Teller der bleifreien Seite kaum Ablagerungen oder Anfressungen zeigen, sind bei den mit Bleizusatz gefahrenen Block I neben einem dichten ölkohle-und Zunderbelag starke Anfressungen des Tellers ersichtlich. An den Sitzflächen der Ventile (Abb.6. - 11) ist kein wegentlicher Unterschied festzustellen; eine Dichtprobe der Ventile vor der Demontage ergab bei beiden Seiten einwandfreien Sitz. Lediglich die Innenseite der Teller zeigt wieder bei Block I starke Ablagerungen von ölkohle und Blei.

Auffallend ist der starke Elektrodenabbrand der inneren Zündkerzen bei Bleibenzin (Abb. 12.) Der Elektrodenabstand hatte sich von 0,4 auf 0,9 mm vergrößert; Störungen traten hierbei nicht auf, sondern wie bereits erwähnt an den äußeren Kerzen des Blocks I. Die Zündkerzen der bleifreien Seite waren einwandfrei.



Da keine abnormalen Abnutzungserscheinungen ersichtlich waren, wurde der Motor wieder zusammengebaut: Ventile, Kolben und Verbrennungsraum wurden nicht gereinigt, sondern unter den gleichen Verhältnissen wieder eingebaut und der Dauerlauf nach Einbau neuer Zündkerzen unter denselben Bedingungen wie vorher fortgesetzt. Hach 2 Stunden Betriebszeit fiel der Motor durch Bruch des Auslaßventiles am Zylinder 1 (Bleiseite) aus.

Die Auslaßventile wurden dem Institut für Werkstoff-Forschung zur eingehenden Untersuchung der Ursachen des Bruches zur Verfügung gestellt. Die primären Ursachen über die Entstehung der Anrisse konnte nicht einwandfrei geklärt werden. Aus den Abbildungen sind die örtlichen Einrisse in die Oxydschicht verursacht durch Biegebeanspruchung am Teller gut zu sehen. An diesen Stellen tritt nun eine verstärkte Oxydation ein, die später zum Bruch führt.

Die ohne Bleizusatz Gefahrenen Ventilkegel hatten am Teller eine glatte Oberfläche ohne nennenswerten Zunderbelag.

# Untersuchung der Ventilkegel 1)

Die Bilder 13 bis 15 geben Ansichten der drei untersuchten Ventilkegel wieder:

Bild 13: Kegel A, ohne Bleizusatz gefahren

Bild 14: Kegel B 1, mit Bleizusatz gefahren

Bild 15: Kegel B 2, mit Bleizusatz gefahren und gebrochen.

Die Bilder 16 bis 18 zeigen die Telleroberseite der Ke- gel A, B 1 und B 2 in zweifacher Vergrößerung. A hat eine aufgeraute Oberfläche und starken, in Umfangsrichtung gerissenen Belag. B 2 hat einen weniger aufgerissenen Belag als B 1, ist aber gebrochen. Der Rißausläufer verläuft in Stufen, vorzugsweise in Umfangsrichtung und kurze Strecken radial.

Der Belag der Kegel B 1 und B 2 wurde spektralanalytisch untersucht. Er enthielt viel Chrom, viel Blei, sehr viel Eisen, wenig Mangan und Silizium und nur feststellbare, also kleine Mengen Nickel und Wolfram. Es handelt sich um einen bleihaltigen Zunder, der in erster Linie neben Eisen-und Chrom- Sauerstoffverbindungen noch eine Bleiverbindung enthält. Das Tehlen nennenswerter Nickelmengen im Belag ist darauf zurückzuführen, daß das Nickel der edelste Bestandteil des Kegelstahles -aus-

<sup>1)</sup> Dieser Teilbericht wurde im Institut für Werkstofforschung angefertigt. Bearbeiter: C o r n e l i u s und J a h n k e



tenitischer Chrom-Mickel-Wolfram - Stahl - ist.

Alle folgenden Schliffbilder sind auf Radialschnitten durch den Ventilkegelteller aufgenommen worden und geben den Schnitt in der Höhe der Ventilkegelteller-Oberseite wieder. Die Schliffstücke wurden in durchsichtigen Kunststoff eingebettet. Alle drei Kegel haben ein Grundgefüge aus Austenit mit eingelagerten Karbiden.

Der <u>Kegel A</u> hat an der Telleroberseite ein Gefüge ohne Besonderheiten gemäß Bild 19. Ein nennenswerter Belag ist nicht vorhanden. Die Telleroberfläche ist glatt.

Der Regel B 1 hat nach dem Übersichtsbild 20 eine wellige Oberfläche. Die in Teller- Umfangsrichtung verlaufenen Wellen haben abgerundete oder spitzwinklige Täler (Kerben). Die Bilder 21 bis 23 zeigen Ausschnitte aus Bild 20 in stärkerer Vergrösserung. Zwischen dem Stahl und dem dicken Zunderbelag hat sich infolge selektiver Oxydation des Stahles eine metallische Schicht gebildet, die nach dem Ergebnis der Spektralanalyse des Belages (Fehlen größere Mengen Nickel) aus Nickel bestehen muß. To der Belag zusammenhängend ist, ist die Nickelschicht ehenfalls zusammenhängend und der Kerbgrund abgerundet. Risse im Belag treten zusammen mit Durchbrechungen der Nickelzwischenschicht und verstärkter Oxydation und Rissansetzen im Kerbgrund auf.

Bild 24 zeigt den Ausläufer des Hauptrisses (vgl.Bild 13) in dem gebrochenen Ventilteller B 2 . Der Riß verläuft interkristallin, ist also vermutlich bei hoher Temperatur entstanden. Der Teller B-2 wies noch eine größere Zahl kleinerer Anriste auf. An ihnen läßt sich das Entstehen und Wachsen der Risse gut verfolgen: An Stellen mit abgerundetem Kerbgrund entsteht infolge der Biegebeanspruchung des Ventiltellers im Betriebe ein Anriss in dem Oxydbelag. Die Verbrennungsgase haben nun freien Zutritt zum Kerbgrund, so daß hier eine verstärkte Verzunderung eintritt. Die Nickelschicht wird an der tiefsten Stelle des Kerbes durch jetzt mögliche Oxydation durchbrochen, im Kerbgrund entsteht durch Zusammenwirken von Oxydation und Biegebeanspruchung ein kleiner Anriss, Bild 25. Es ist anzunehmen, daß das weitere Fortschreiten des Risses im wesentlichen infolge der Spannungserhöhung an der Riß spitze unter der Biegebeanspruchung des Kegeltellers im Be-



tricbe erfolgt und von diesem Zeitpunkt ab die Omydation der Rißwandungen eine Folgeerscheinung ist. Auf diese Omydation hunn es zurücknuführen sein, daß der Riss im zuerst entstandenen Teil einen interhristallinen Verlauf zu haben scheint. Im später entstandenen, der omydation nur kurze Zeit unter - worfenen Teil des Risses ist der interkristalline Rißverlauf deutlich erkennbar, Bild 25 und 27.

Zusammenfassung: Der Kegel A (ohne Bleizusatz geführen) hat am Teller eine glatte Oberfläche mit nur dünnem Zunderbelag.

Die Kegel-B 1 und B 2 (mit Bleizusatz-geschren) haben eine wellige Oberflüche mit starke , bleihaltigem Zunderbe - lag. Die Wellen verlaufen in Umfangsrichtung des Tellers. An der Oberseite des Ventiltellers ist die Omydschicht örtlich eingerissen unter dem Binfluß der Diegebeanspruchung des Tellers. Durch verschärfte Omydation un diesen Stellen ent - steht aus dem abgerundeten Wellental ein Scharfkerb, der unter dem Binfluß der Diegebeanspruchung und der Omydation zu einen mriß führt. Hierduch entstehen infolge der Biegebeanspruchung hehe Spannungsspitzen, die zu raschem Wachsen des Risses bis zum Bruch führen können.

Die erste Ursache der Rissentstehung ist also in der örtlich verstärkten Omydation der Tellereberfläche zu sehen, die zu dem in Teller- Umfangsrichtung verlaufenden Vertiefungen führt. Es ist nicht anzugeben, worauf diese örtlich verstärkte Omydation zurückzuführen ist. Weiter ist nicht zu entscheiden, ob die allgemein und örtlich verstärkte Omydation der mit Bleizusatz gefahrenen Regel allein auf die Anwesenheit von Bleiverbindung in den Terbrennungsgasen oderauf eine höhere Regeltemperatur oder auf beide Einflüsse zurückzuführen ist.

# b) Vergleichskraftstoff mit 0,09% Dleizusatz

Die Versuche wurden mit einem neuen Jumo 211 H-Motor Werk Nr. 194 fortgesetzt. Als Vergleichskraftstoff wurde derselbe Grundkraftstoff wie bei B 4-Benzin verwendet, jedoch wurden nur 0,09 vol. DTL zugesetzt. Der Aromatenge - halt bewegte sich wie ei Mormal-P 4 zwischen 0,15 und 0,201



Die Dauer der verschiedenen Belastungsstufen blieb unveründort. Nach insgesamt 115 Betriebsstunden, die sich auf 88 Stundon Dauerleistung, 22 Stundon Kampfleistung und 5 Stunden Startleistung ausarmensetzten, wurde der Motor überholt. Dieser Versuchslauf fand in der Seit vom 23.4. bis 16.5.19/2 statt und konnte ohne wesentliche Störungen bezw. ohne anzuhalten durchgeführt werden. Zündkerzenstörungen traten hierbei nicht auf. Am Ende des Laufes wurden die Auslaßventile mittels Benzinerobe auf Dichtheit untersucht und einwandfrei befunden. Die Befundaufnahme nach dem Zerlegen des Motors zeigte zwischen Block I und II an Zündkerzen, Ventilen und Kolben (Abb. 28 - 32) keine Unterschiede. Auch der äußere Befund dieser Teile zeigte im wesentlicher besseres Aussehen als beim 1. Versuchsmotor. Dies läßt sich vielleicht damit erklären, daß die Mitterungseinflüsse sich nicht so stark auswirken konnten wie beim 1. Versuchslauf, da dieser zweite Motor die 115 Stunden fast ohne Halt in Betrieb war. Da die mechanische Reinigung der Auslaßventile nicht genügte, wurde sämtliche Auslaßventile bei der Firma Junkers Flugmotoren Dessau auf elektrolytischem Wege entschlackt2; d.h. die Ölkohle und Bleiniederschläge wurden restlos entfernt. Die auf diese Weise gereinigten Ventilkegel (Abb.33 und 34) wurden auf Risse untersucht und miteinander verglichen. Je zwei Auslaßventile der beiden Zylinderblöcke wurden zur Untersuchung an das Institut für Werkstoff-Forschung gegeben.

Diese Ventile wurden durch neue ersetzt und der Versuchslauf unter den gleichen Bedingungen fortgesetzt. Nach weiteren 57 Betriebsstunden ergab eine Besichtigung der Ventile durch die Merzenöffnungen keine wesentlichen Merkmale. Um schneller zu einem Ergebnis zu gelangen, wurde die Startleistung auf jeweils 15 min Dauer festgesetzt. Der Betrieb mit Dauerleistung wurde entsprechend gekürzt. Unter diesen Bedingungen lief der Motor 2 Stunden und mußte dann wegen Bruch eines Zugankers abgestellt werden.

Die Versuche an Jumo 211 H-Motoren wurden damit abgeschlossen, da durch die Untersuchungen im Institut für Werkstoff-Forschung inzwischen festgestellt wurde, daß die 0,09% bezw. 0,12% Bleigehalt im Kraftstoff keinen Unterschied in der Haltbarkeit der Auslaßventile erkennen lassen. Auch bei 2)Fntschlacken von Ventilkegeln Jum.N 52004.14-02.



der Beurteilung der Kolben und Zündkerzer konnte zwischen beiden Zylinderblöcken kein Unterschied festgestellt werden. Die Abbildungen 35 - 38 zeigen die Schnittbilder der elek - trolytisch gereinigten Auslaßventilkegel. Die Kerbwirkungen und Anrisse sind in beiden Ventilen gleich stark zu sehen und es wird nur eine Frage der Zeit sein, wann diese Anrisse im Kegel zum Bruch führen; welches Ventil zuerst brechen wird, kann nicht vorausgesagt werden, da die Anrisse in beiden Fällen gleich tief sind. Wie schon vorher gesagt, konnten die Versuche am Motor Werk Mr. 194 fast ohne Unterbrechung zu Ende geführt werden, zudem herrschte beim letzten Lauf meist trocknes, warmes Wetter.

Daß dieser zweite Motor wesentlich längere Laufzeit ohne Zerstörung der Ventile aushielt, kann somit nur auf den Wit - terungseinfluß zurückgeführt werden, d.h. Kaltkorrosion unter Einfluß der Luftfeuchtigkeit und des Sauerstoffgehalts der Luft konnte sich bei diesem Versuchslauf nicht so stark auswirken.

### IV. Zusammenfassung.

Der erste Versuchslauf mit dem Vergleichskraftstoff ohne Bleizusatz gab Aufschluß über den schädlichen Einfluß des Bleitetraäthyls. Einrend die bleifreie Seite nach 110 Betriebsstunden vollkommen glatte Ventiloberflächen ohne Zunderbelag und ohne Anrisse am Teller zeigte, waren die Ventile, die mit normalem B 4-Kraftstoff betrieben wurden, teils gebrochen, teils zeigten sich starke nrisse am Teller, die bei längerem Betrieb auch zum Bruch geführt hätten.

Die Frage, ob eine Herabsetzung des Bleigehaltes auf 0,09 vol. eine Verbesserung hinsichtlich Korrosion und Zunderbildung bringt, mußte durch den zweiten Versuch verneint werden. Der 175 Stunden-Dauerlauf am Jumo 211 H-Motor Werk Nr. 194 ließ keinen Unterschied erkennen zwischen den mit B 4 und 0,12 vol. BTÄ-Gehalt und den mit 0,09% BTÄ-Gehalt betriebenen Ventilen.

Die Versuche mit Vergleichskraftstoff von 0,09 vol. Bleigehalt werden an einem DB 605- Motor fortgesetzt. Gleichzeitig werden Motorversuche durchgeführt über den Einfluß der Kaltkorrosion bei Zutritt der Luftfeuchtigkeit und bei verschlossenen Auslaßkanälen nach dem Abstellen des Motors.



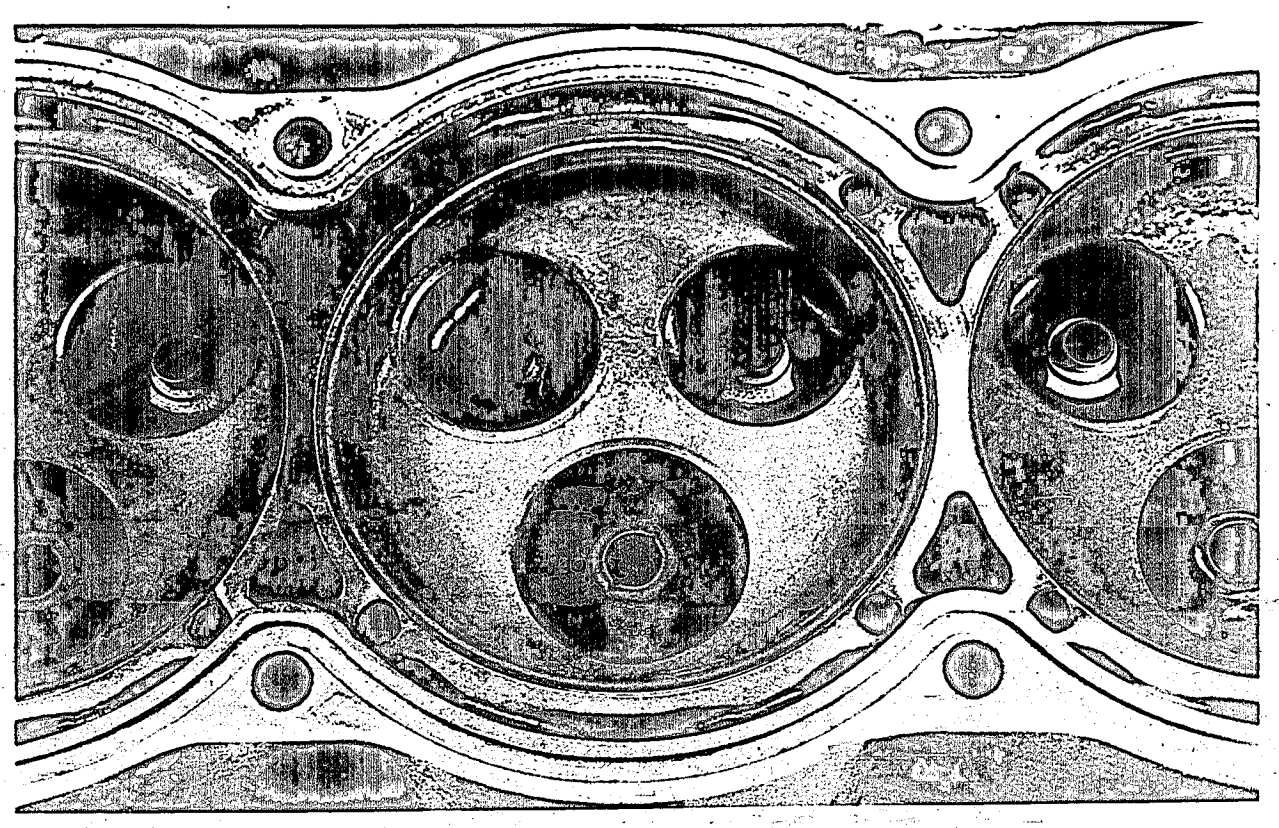


Abb. 1 Zylinderkopf I BTA-Zusatz 0,12%

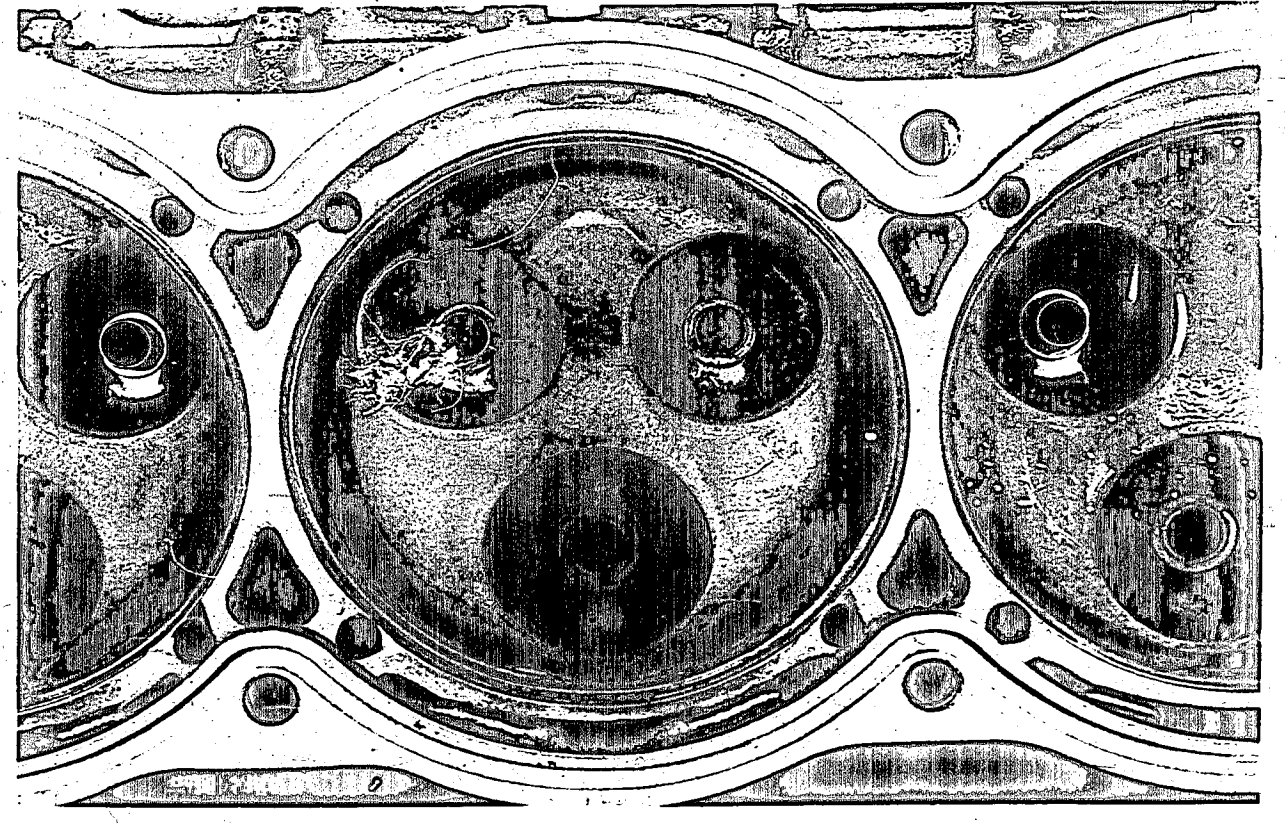


Abb. 2 Zylinderkopf II ohne BTX-Zusatz



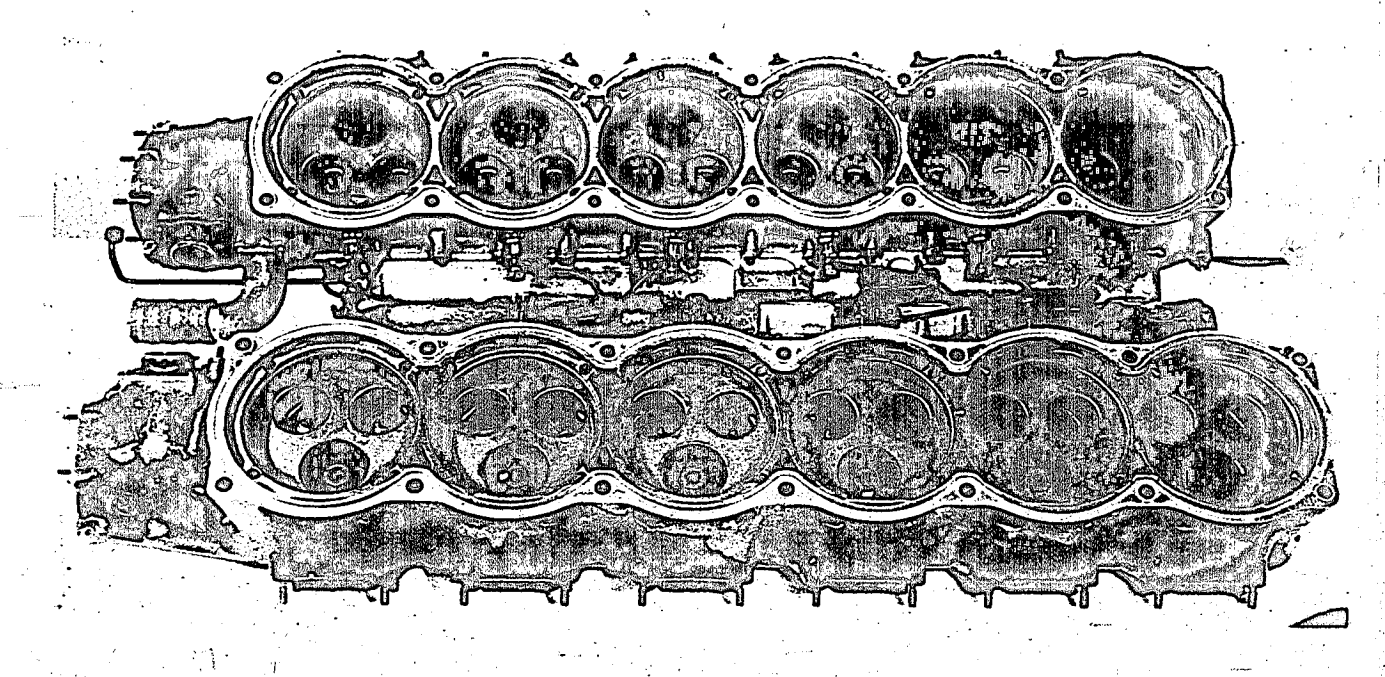


Abb. 3 Oberer Zylinderkopf I BTA-Zusatz 0,123 Unterer Zylinderkopf II ohne BTA-Zusatz

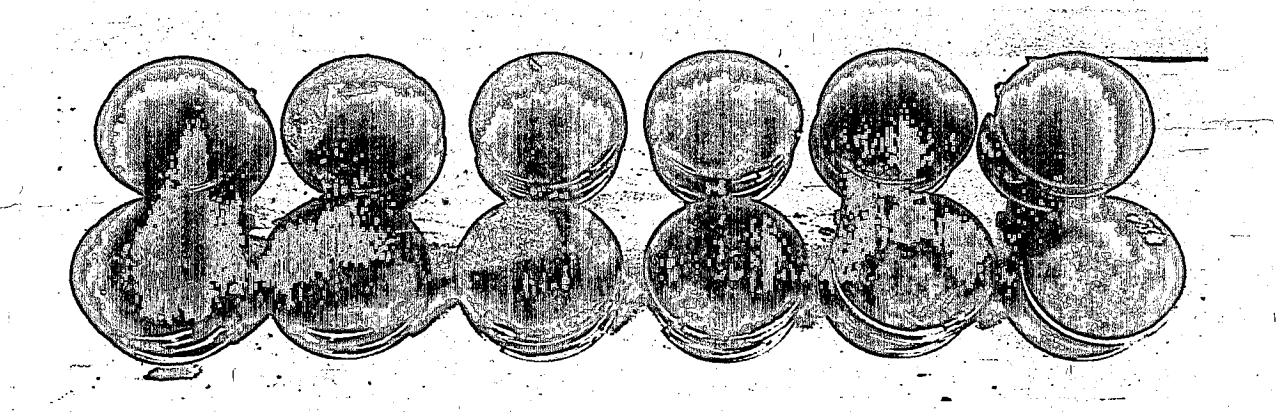


Abb. 4 Obere Kolbenreihe BTA-Zusatz 0,12% Untere/Kolbenreihe ohne BTA-Zusatz



Abb. 5 Obere Ventilreihe BTÄ-Zusatz 0,12% Untere Ventilreihe ohne BTÄ-Zusatz

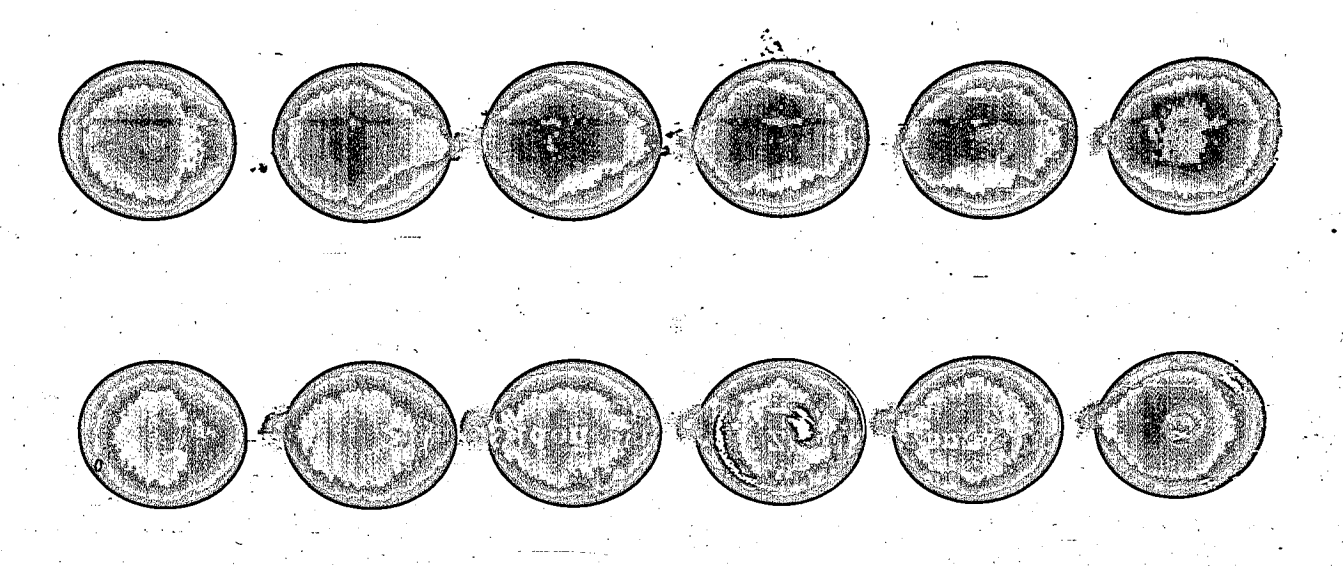
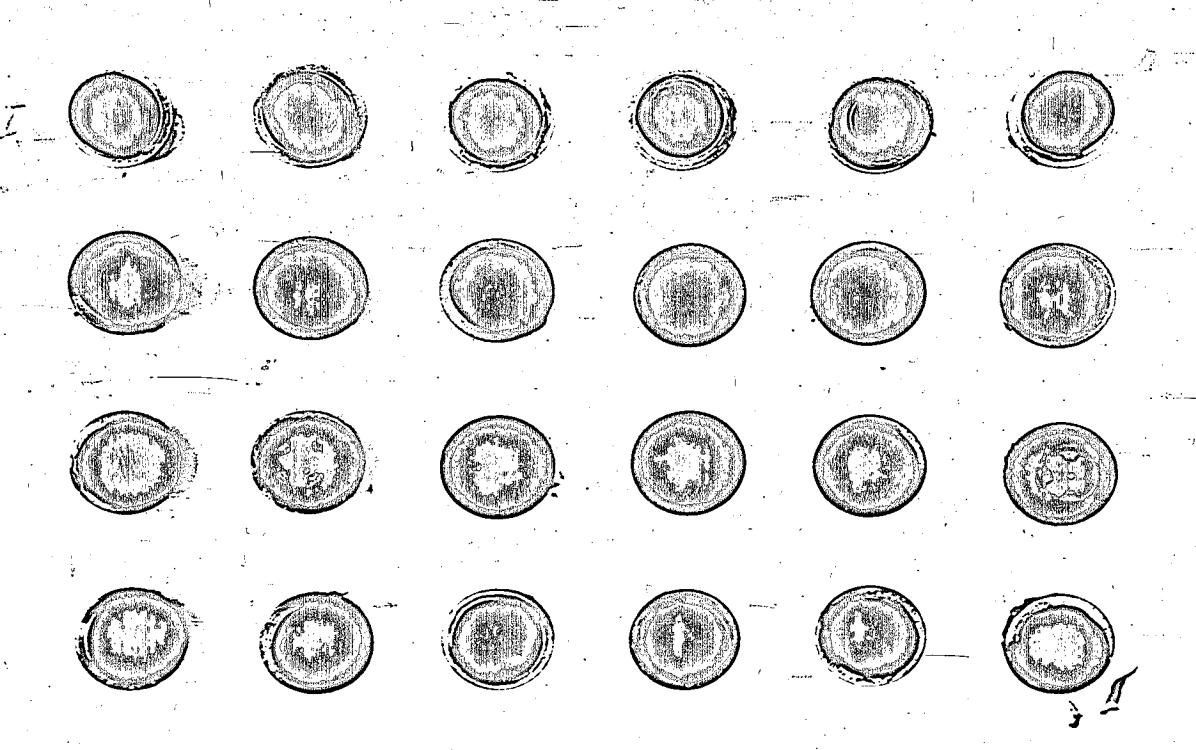


Abb.12 Die beiden oberen Zündkerzenreihen mit 0,12% BTÄ-Zusatz

Die beiden unteren Zündkerzenreihen ohne BTÄ-Zusatz



# 935

#### 3-fache Vergrößerung der Auslaßventilsitze

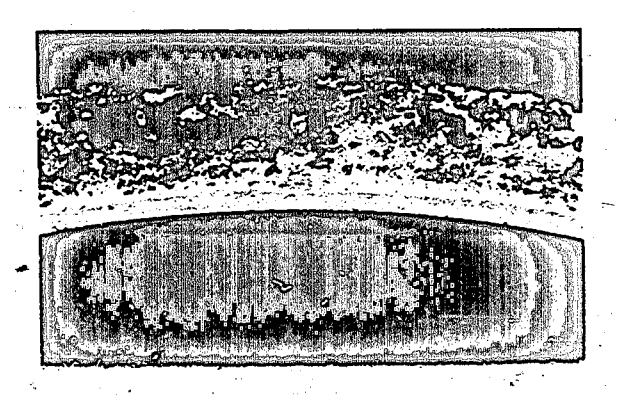


Abb.6 Ventilkegel Nr.1 mit 0,12% BTA

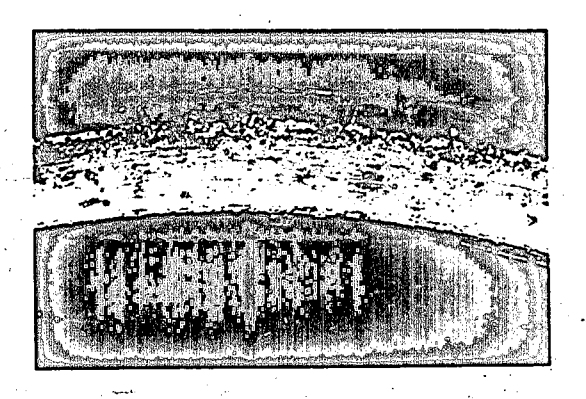


Abb. 9 Ventilkegel Nr. 7 ohne Blei

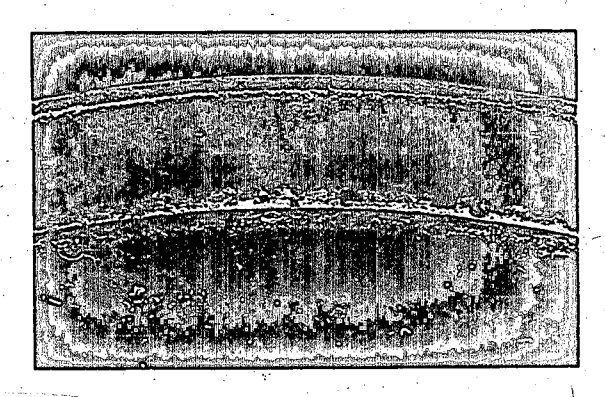


Abb. 7 Ventilkegel Nr.3 mit 0,12% BTA

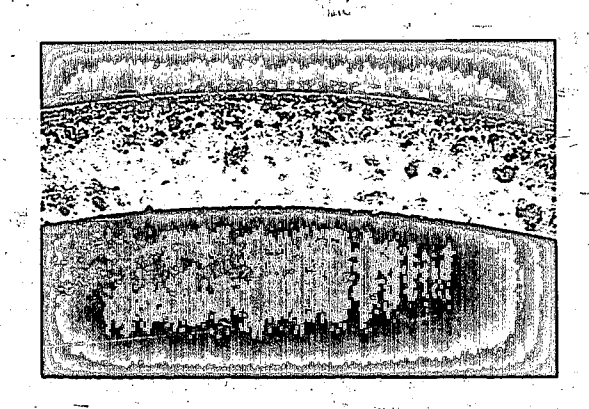


Abb.10 Ventilkegel Nr.9 ohne Ble1

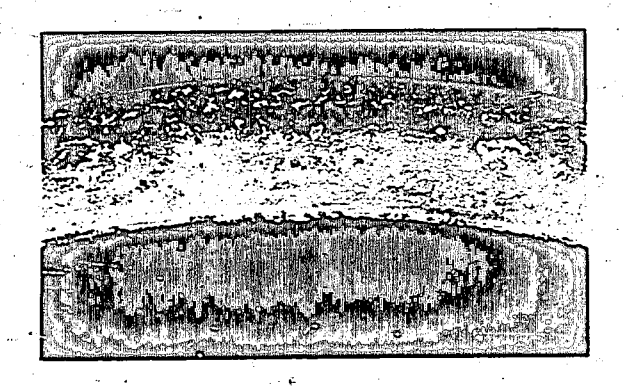


Abb.8 Ventilkegel Nr.5 mit 0,125 BTA

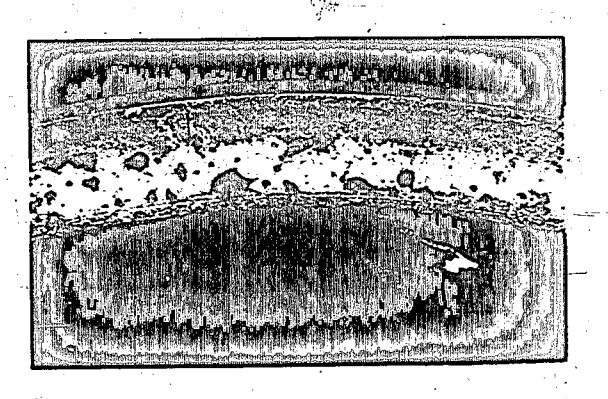


Abb.11 Ventilkegel Nr.11 ohne Blei



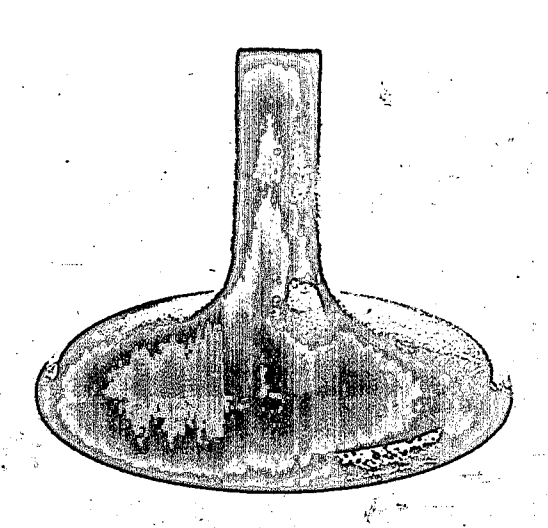
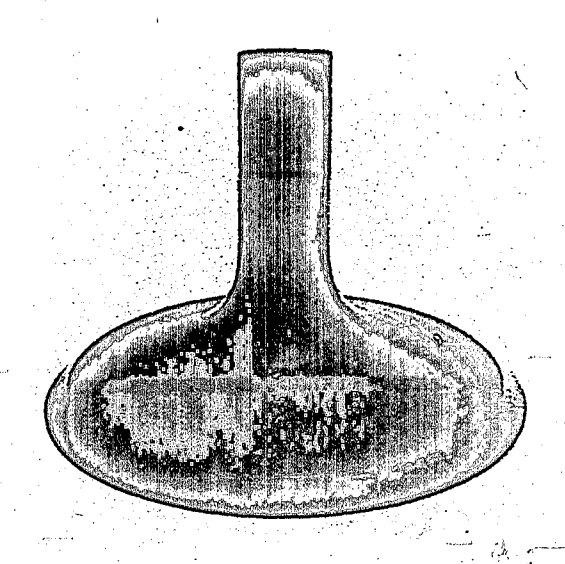


Bild 13:0hne Pb-Zusatz gefahrenes Ventil A



V = 1

Bild 14:Mit Pb-Zusatz
gefahrenes Ventil B 1

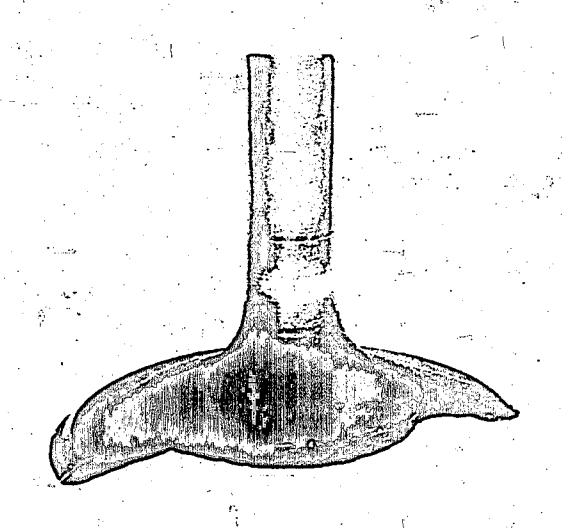
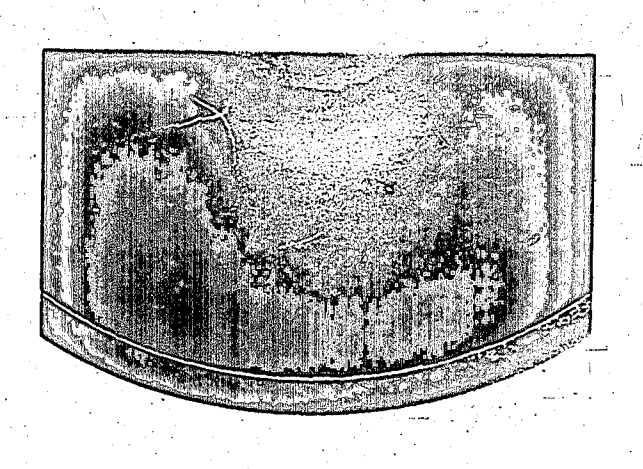


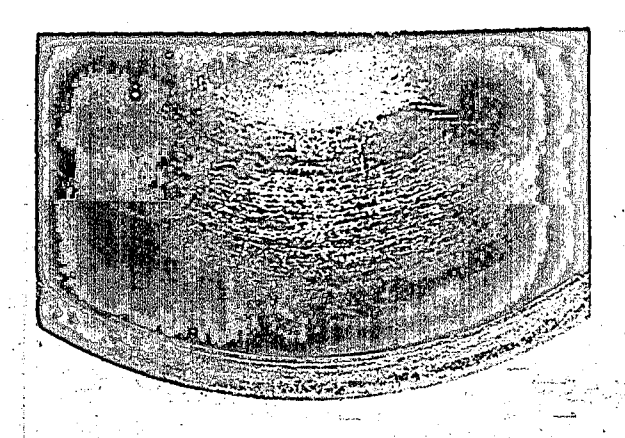
Bild 15: Mit Pb-Zusatz

Cofahrones Ventil B 2



Dild 16: Tellerfläche eines ohne Pb-Zusatz gefahrenen Ventils A





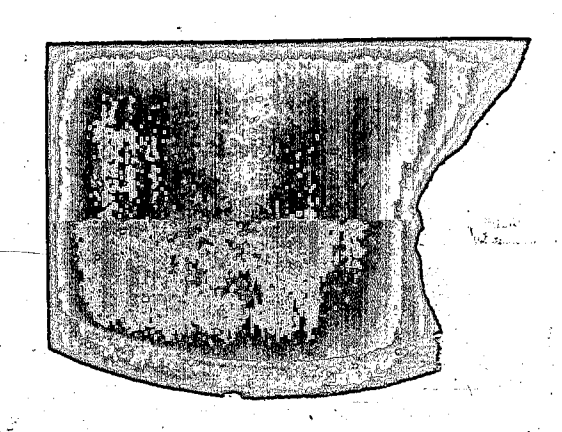
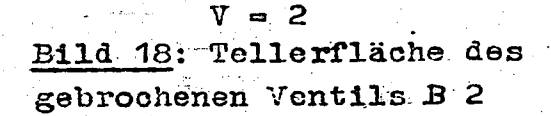
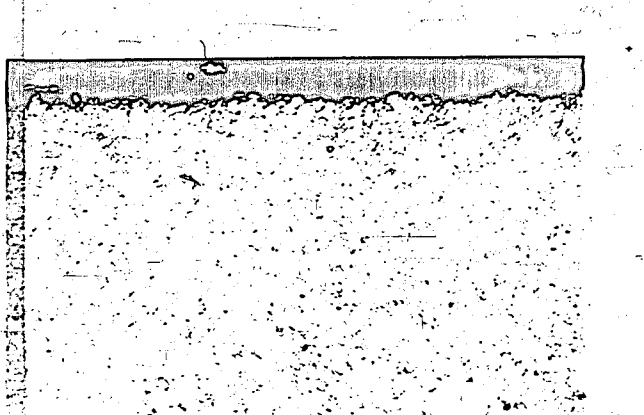


Bild 17: Tellerfläche eines mit Pb-Zusatz gefahrenen Ventils B 1



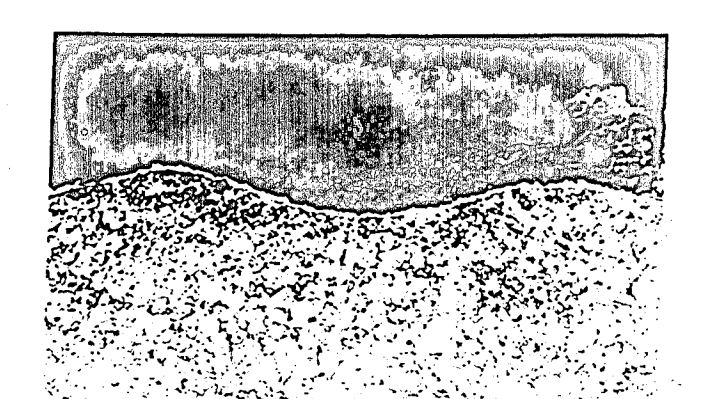




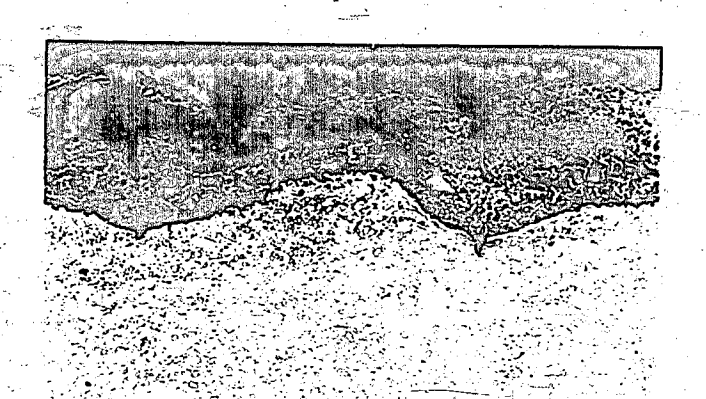
V = 200 Bild 19: Kegel A V = 50

Bild 20: Kegel B 1 Ubersicht

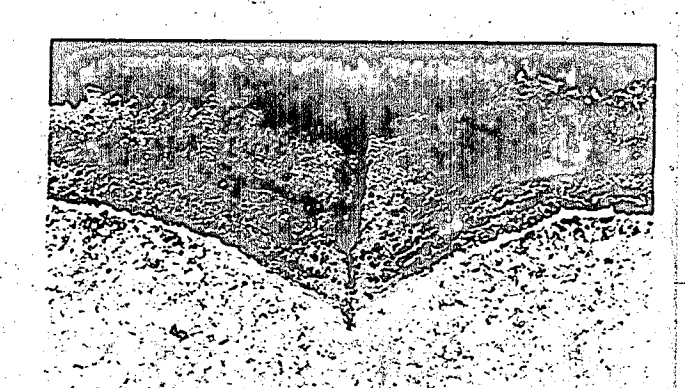




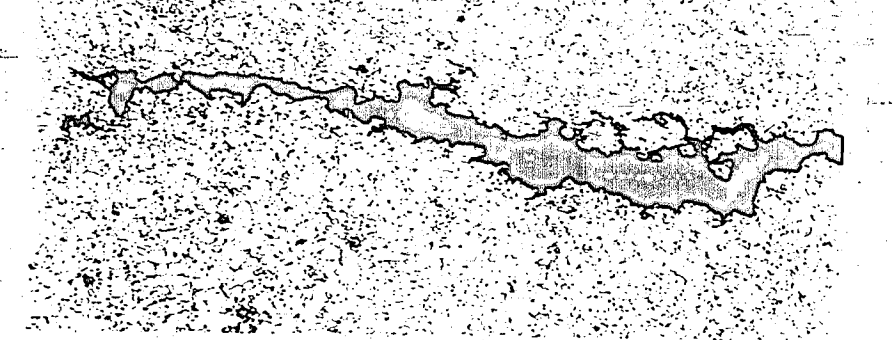
V = 200 Bild 21: Kegel B 1-



V = 200 Bild 22: Kegel B 1



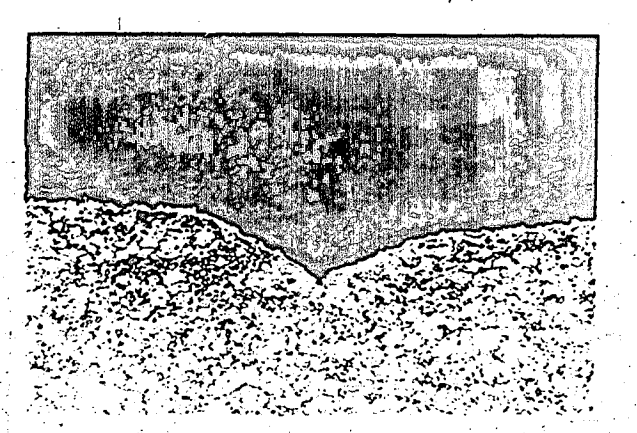
V = 200 <u>Bild 23</u>: Kegel B 1

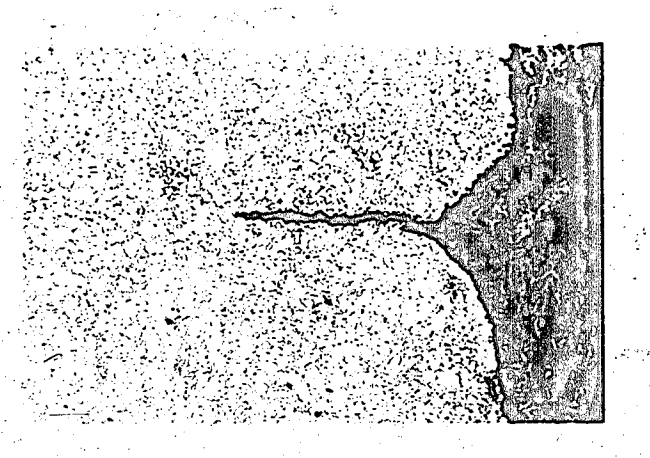


V = 200

Bild 24: Ausläufer des Hauptrisses im Ventilteller des gebrochenen Ventils B 2

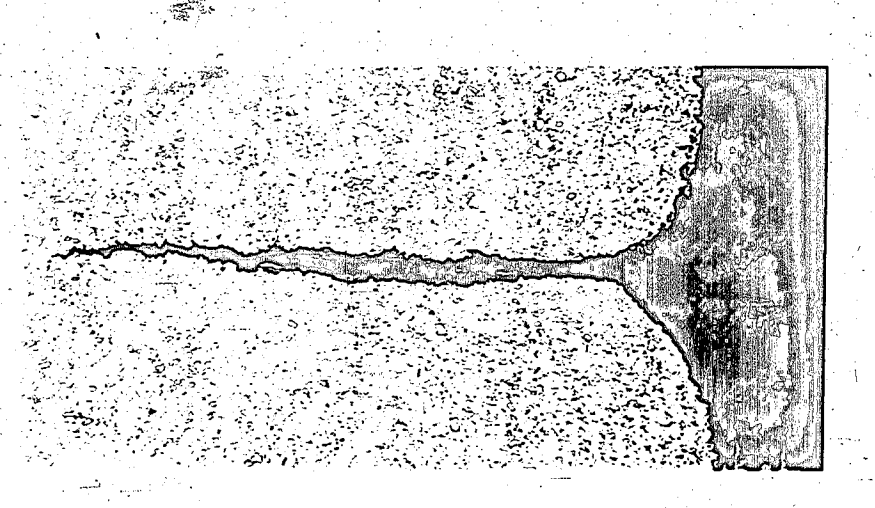






V = 200 Eild 25: Kegel B 2

V = 200 Bild 26: Kegel B\_2



-V = 200 Bild 27: Kegel B 2



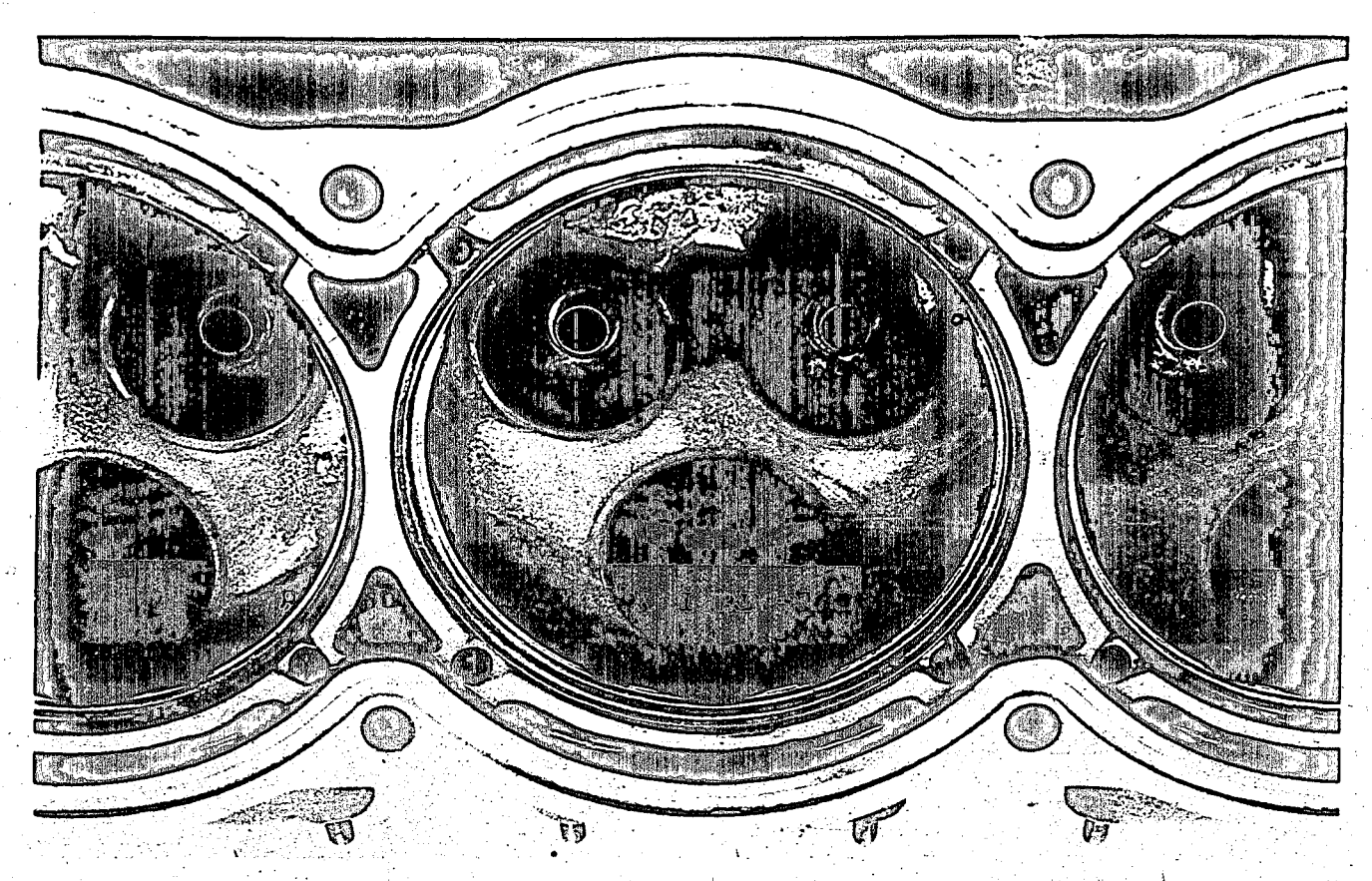


Abb. 28 Zylinderkopf I BTA-Zusatz 0,12%

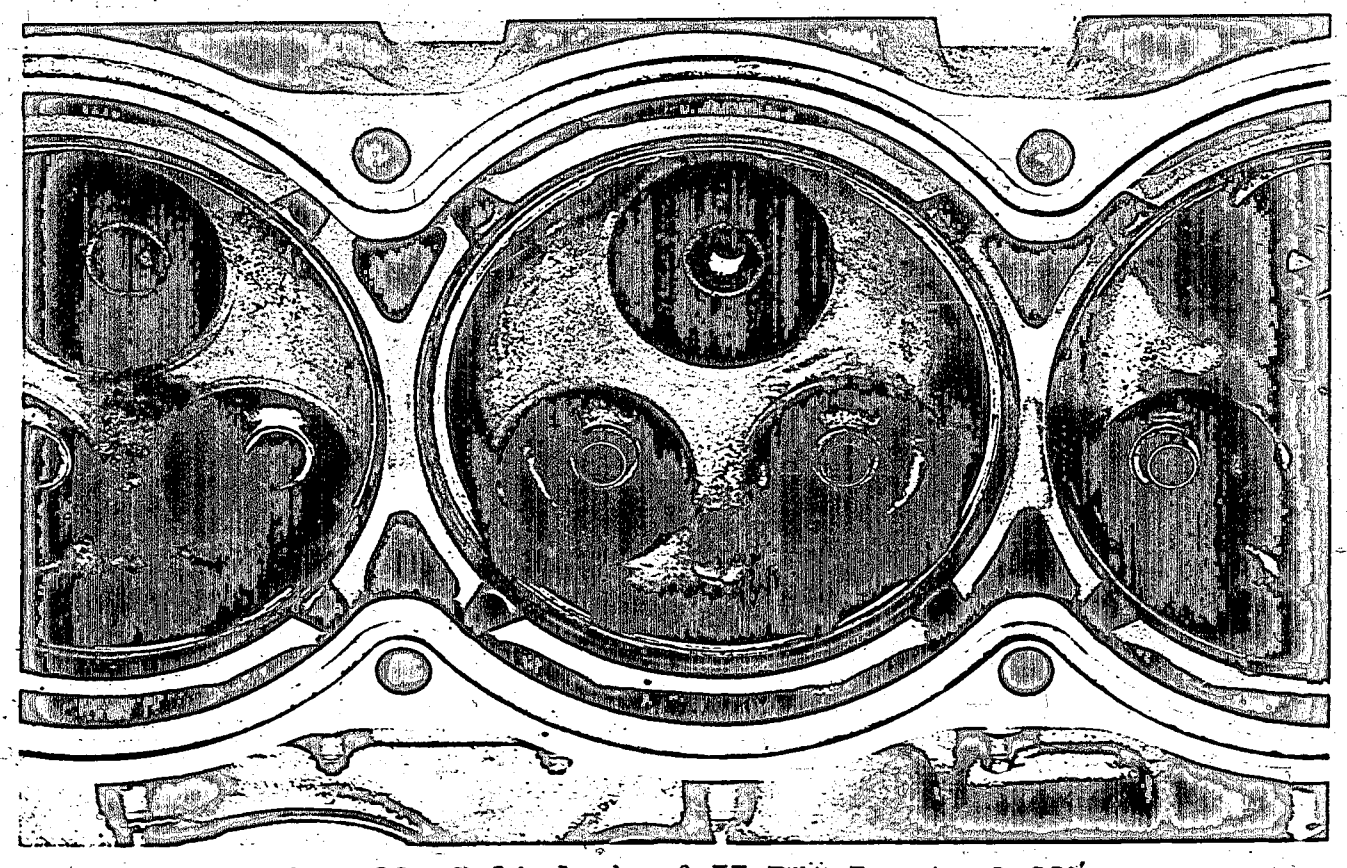


Abb. 29 Zylindorkopf II BTA-Zusatz 0,09%



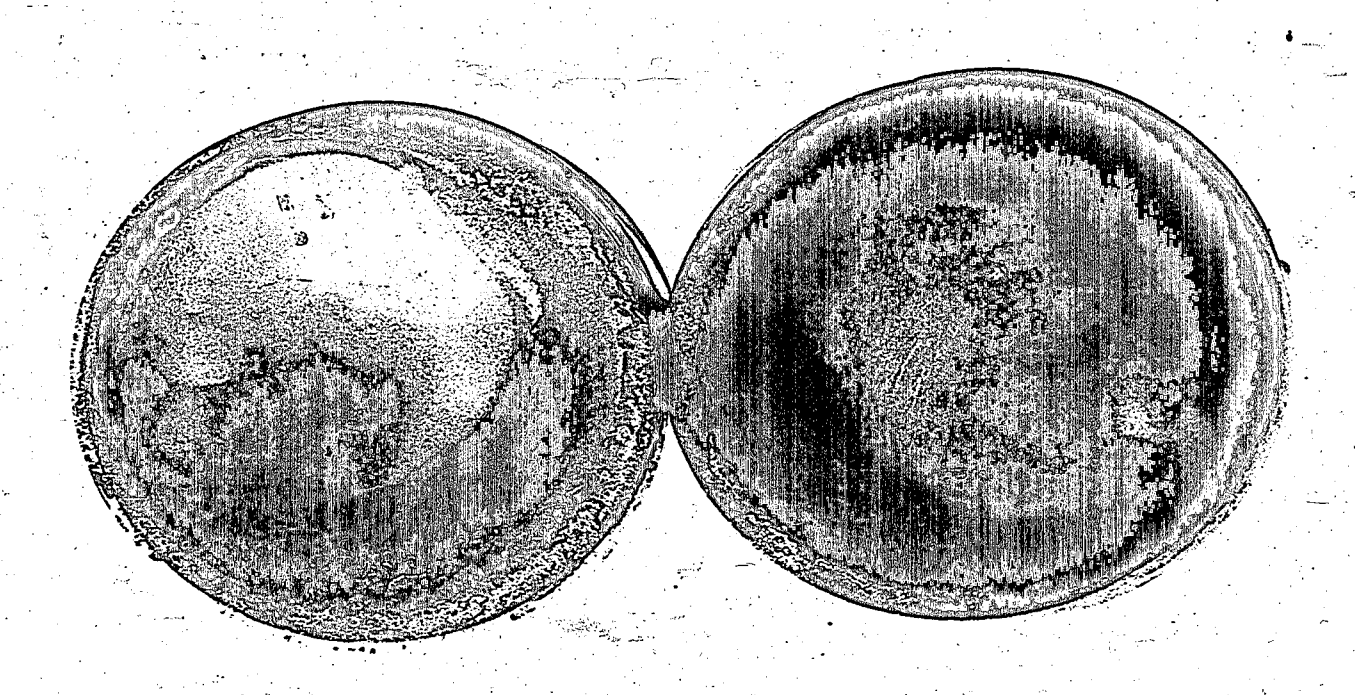
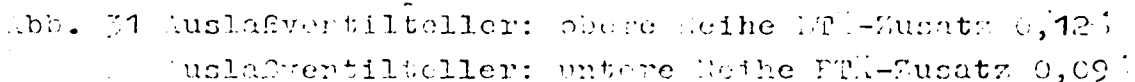
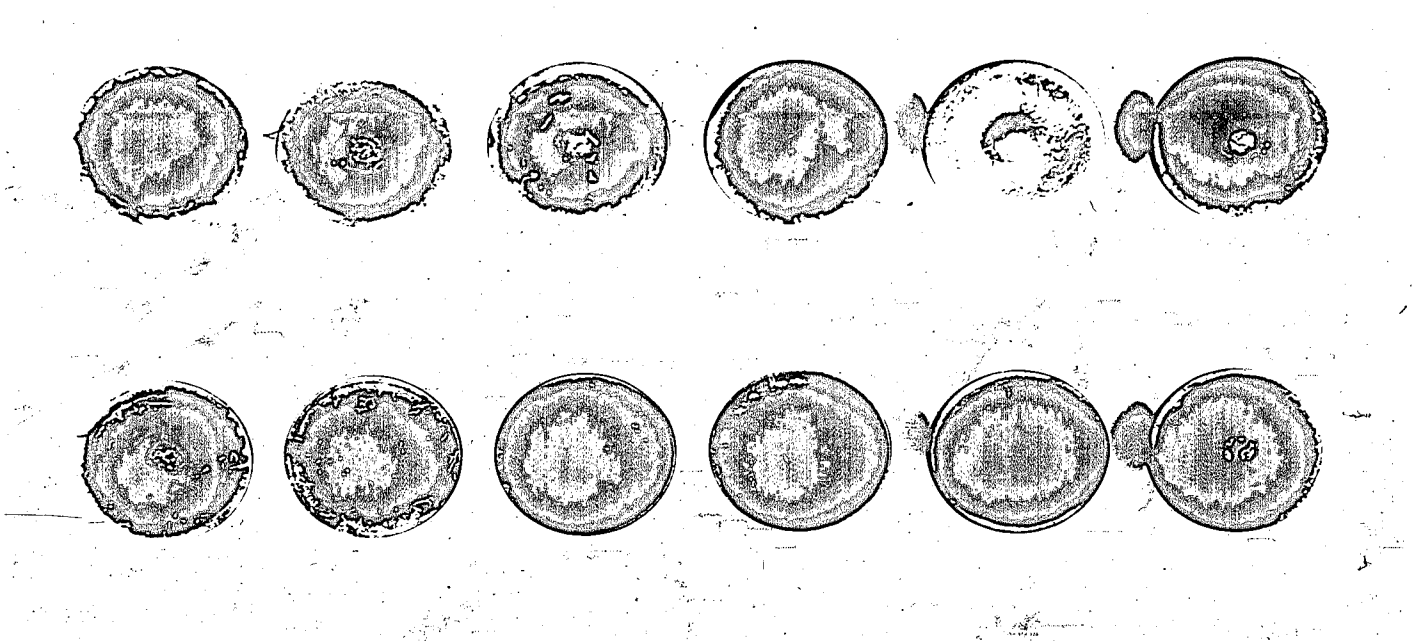


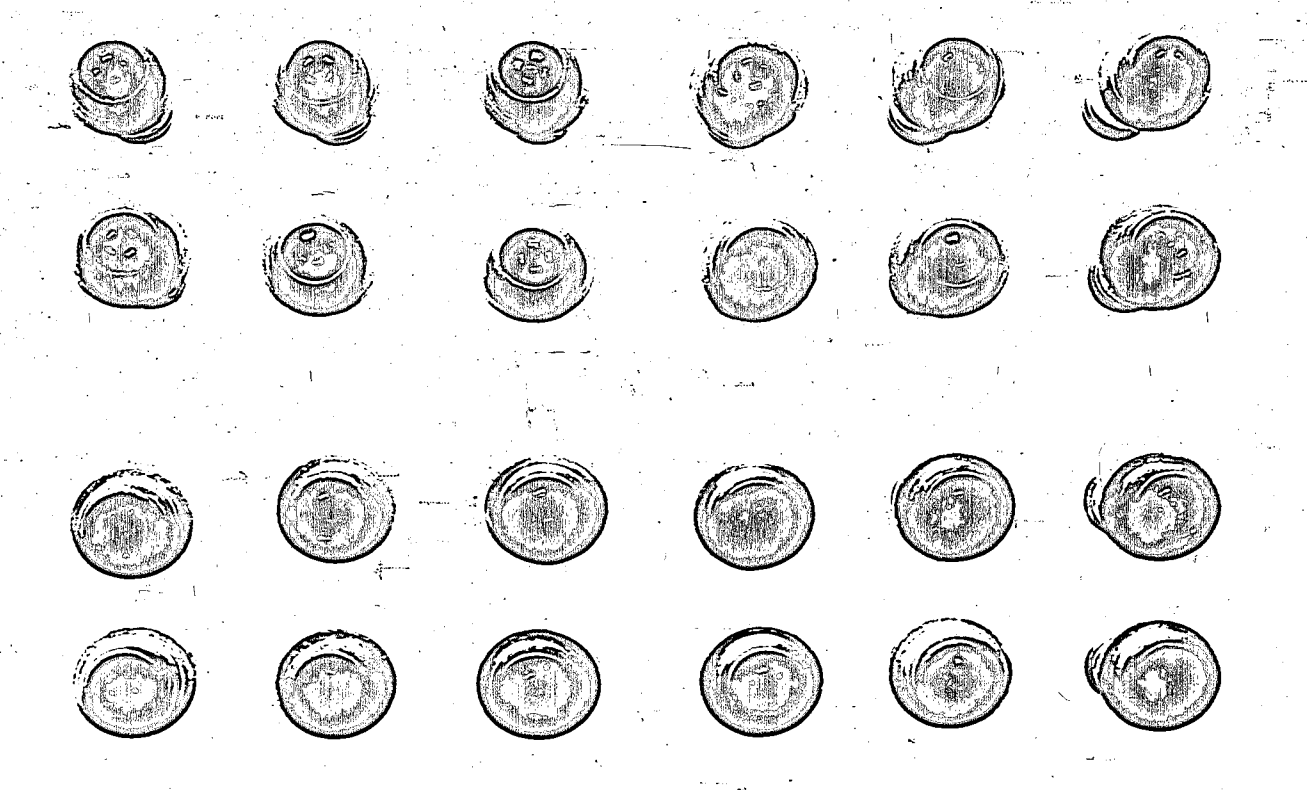
Abb. 30 Linker Kolben BTA-Zusatz 0,12%
Rechter Kolben BTA-Zusatz 0,09%







bb. 32 he beider oberer Tündkervenreihen mit 0,12 DU-Susatz





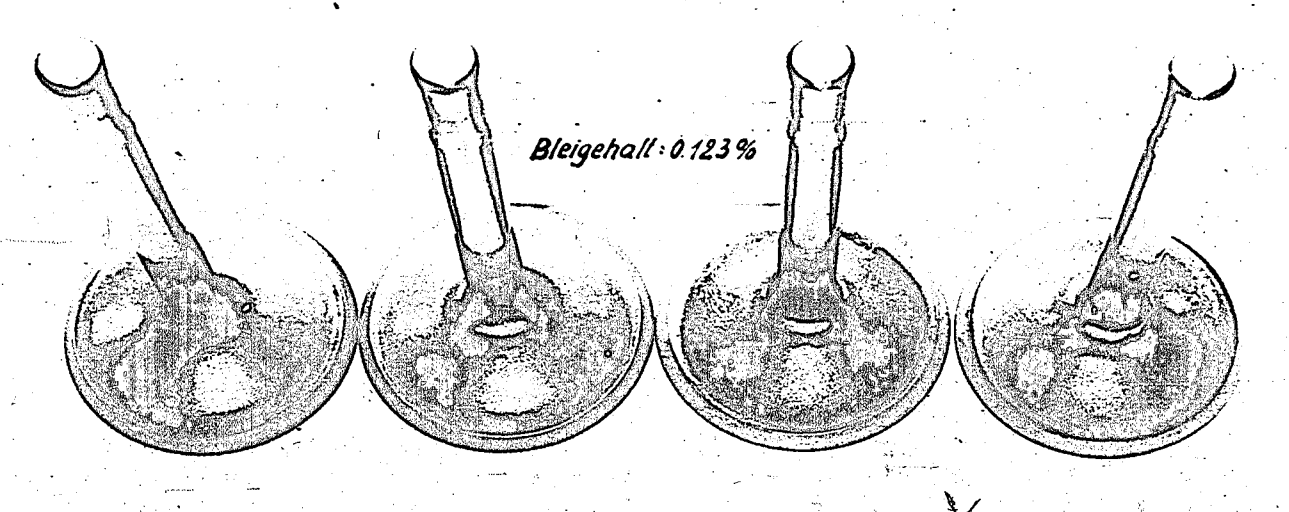


Abb. 33 Auslaßventile: elektrol.gereinigt

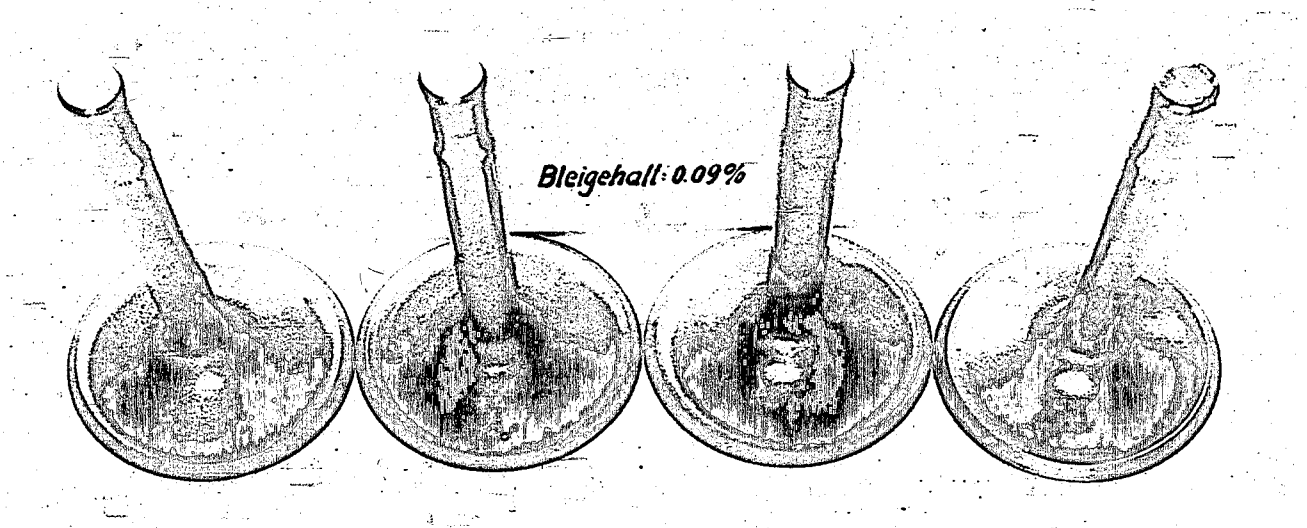
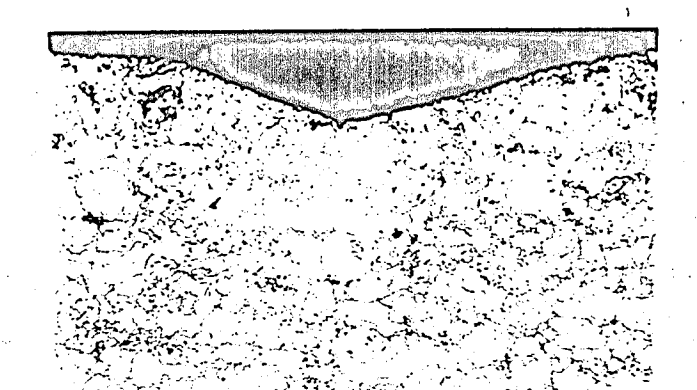
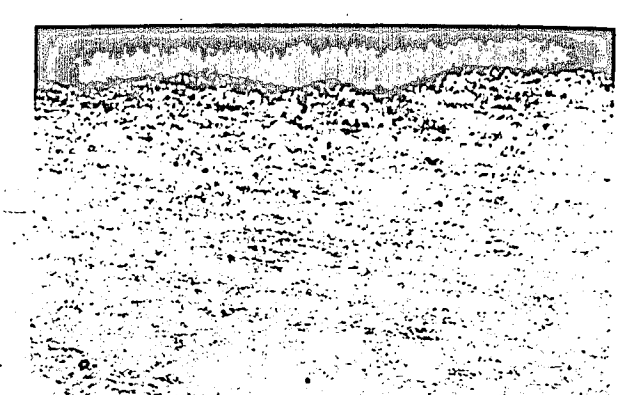


Abb. 34 Auslaßventile: elektrol. gereinigt

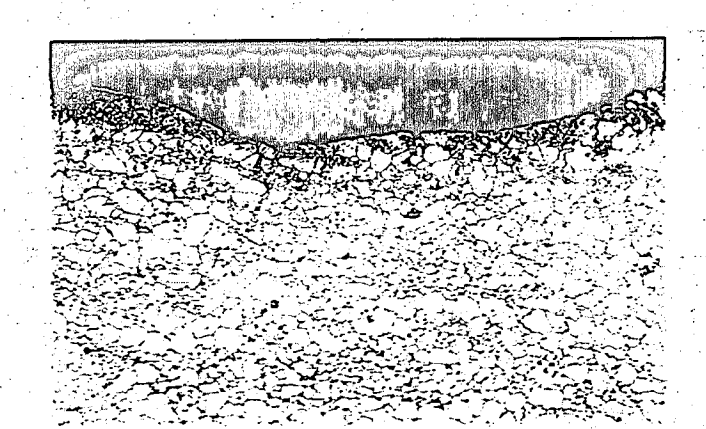






Schliffbilder von Ventilkegel 6 BTA-Zusatz 0,12% V=200

Radialschnitt an der Telleroberseite



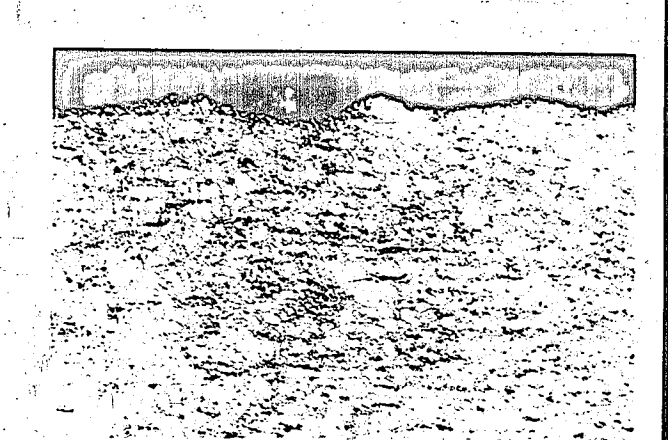
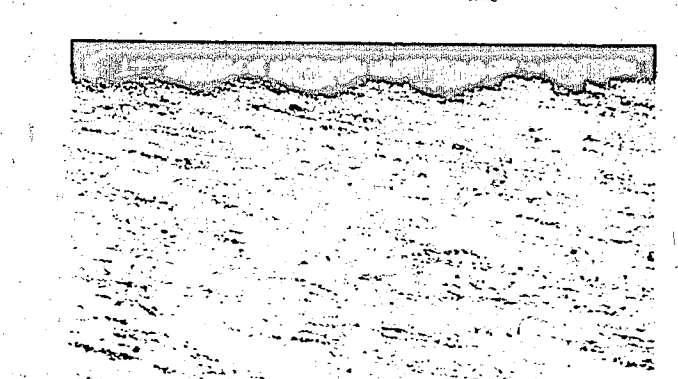


Abb. 36 Schliffbilder von Ventilkegel 12 BTA-Zusatz 0,09% V=200

Radialschnitt an der Telleroberseite V=50





BTA-Zusatz 0,12% **V**≈50

Abb. 37 Schliffbild Ventilkegel 4 Abb. 38 Schliffbild Ventilkegel 8 BTA-Zusatz 0,093 V=50